

НЕСТАБИЛЬНОСТЬ КРИСТАЛЛИЧЕСКОЙ РЕШЕТКИ  $\text{YBa}_2\text{Cu}_3\text{O}_{7-x}$   
В ОБЛАСТИ ТЕМПЕРАТУР 240 – 200 К ПО ДАННЫМ  
КОМБИНАЦИОННОГО РАССЕЯНИЯ СВЕТА

Л.А.Ребане, Т.А.Фимберг, Е.М.Фефер,  
Г.Э.Блумберг, Э.Р.Йоон

Для высокотемпературного сверхпроводника  $\text{YBa}_2\text{Cu}_3\text{O}_{7-x}$  в орторомбической фазе обнаружена область нестабильности решетки при температурах 240 – 200 К. В спектре комбинационного рассеяния света в этой области температур возгорается новая полоса  $640 \text{ cm}^{-1}$ , а полосы при  $147, 340, 432$  и  $501 \text{ cm}^{-1}$  испытывают аномальный сдвиг. Нестабильность решетки связывается с образованием метастабильных комплексов  $\text{CuO}_6$ .

Группа соединений оксидов меди, обладающих высокотемпературной сверхпроводимостью (ВТСП), характеризуется необычной лабильностью кристаллической структуры по отношению к содержанию кислорода и тем позициям, которые он занимает. Сравнительно небольшие изменения дефицита кислорода ( $0 \leq x \leq 1$ ) переводят кристаллическую структуру  $\text{YBa}_2\text{Cu}_3\text{O}_{7-x}$  из тетрагональной ( $D_{4h}^{17}$ ) в орторомбическую ( $D_{2h}^1$ ), когда заполняются вакантные узлы решетки в плоскостях  $\text{Cu}(1)^1$ ). Температура перехода оказывается в высшей степени чувствительной к дефициту кислорода<sup>1, 2</sup>, а следовательно, и к изменению архитектуры позиций кислорода и их вакансий. В данной работе с помощью спектров комбинационного рассеяния света (КРС) обнаружена новая область нестабильности решетки  $\text{YBa}_2\text{Cu}_3\text{O}_{7-x}$  при температурах 240 – 200 К, которая характеризуется образованием комплексов с частотой колебания  $640 \text{ cm}^{-1}$ .

Образцы  $\text{Y}_1\text{Ba}_2\text{Cu}_{7-x}$  приготавливались стандартным методом из порошков  $\text{Y}_2\text{O}_3$ ,  $\text{BaCO}_3$  и  $\text{CuO}$ . Холодно прессованные таблетки прогревались при  $T = 900 - 950^\circ\text{C}$  в потоке кислорода в течение  $\sim 10$  часов, затем тщательно перемалывались и снова прессовались. Образцы, полученные в результате трех циклов прогрева имели при комнатной температуре удельное сопротивление  $1 \div 2 \text{ m}\Omega\text{м}$  и переходили в сверхпроводящее состояние при  $T_c = 90 \div 91 \text{ K}$  ( $\Delta T_c = 1,5 \text{ K}$ ). Учитывая зависимость  $T_c$  от содержания кислорода<sup>2</sup>, наши образцы имели  $x \lesssim 0,1$ .

<sup>1)</sup> Использованы принятые в<sup>4, 5</sup> обозначения позиций атомов в элементарной ячейке.

Спектры КРС возбуждались линиями Ar<sup>+</sup>-лазера, излучение которого фокусировалось в пятно диаметром 60 мкм, и мощность облучения не превышала 50 мвт. Спектры КРС регистрировались в геометрии "рассеяние назад" с помощью раман-спектрометра OMARS-89 с детектированием на оптическую линейку. Образцы в криостате находились в парах гелия и температура регистрировалась на держателе образца. Все спектры измерялись со свежего скола таблетки, которая представляла собой поликристаллическое образование.

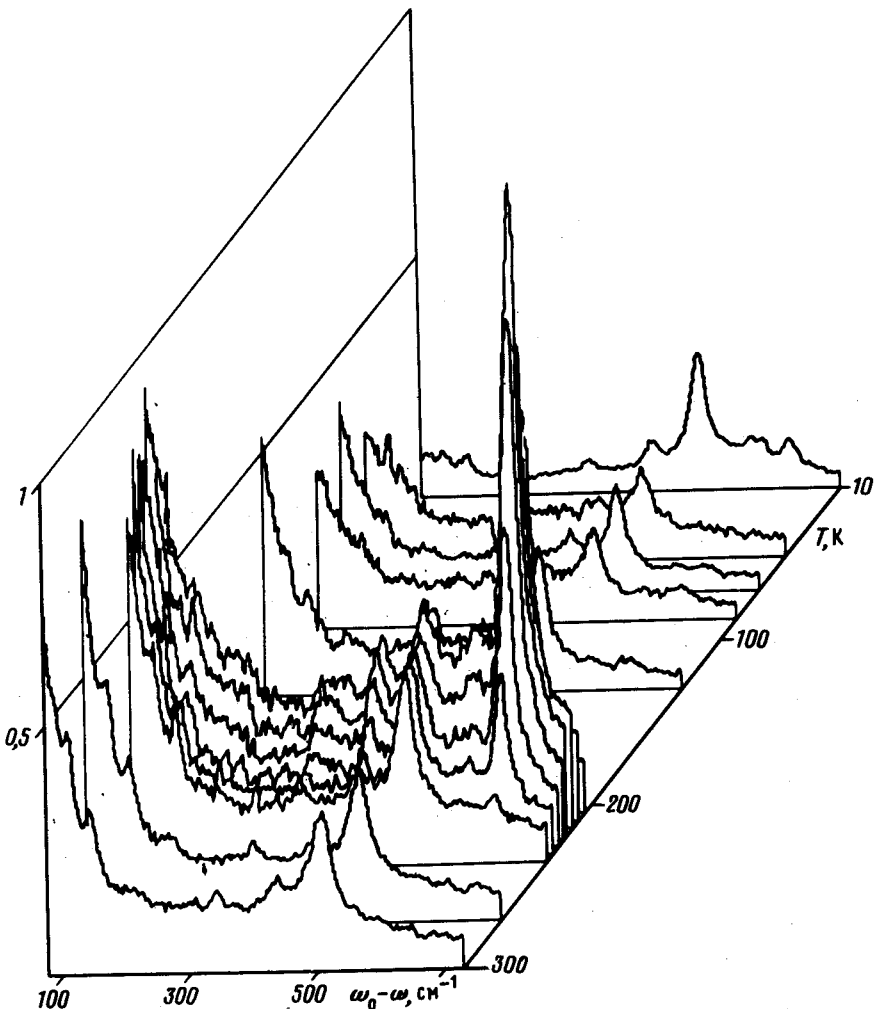


Рис. 1. Спектры КРС орторомбического поликристаллического  $\text{YBa}_2\text{Cu}_3\text{O}_{7-x}$  в области температур 300 – 8 К

Спектр КРС при 300 К (рис. 1) хорошо согласуется с приведенными в <sup>3 – 5</sup> для орторомбической фазы. Он содержит полосы с частотами 116, 147, 340, 432 и 501  $\text{см}^{-1}$ . Для некоторых образцов и при измерениях с несколотой поверхности спектр КРС содержал также полосы 635 и 580  $\text{см}^{-1}$ , которые исчезали после прогрева образца в кислороде. На основании спектра КРС при 300 К можно заключить, что наши образцы обладали орторомбической структурой и высокой степенью однофазности.

На рис. 1 показана эволюция спектров КРС при понижении температуры. Наиболее значительные изменения происходят в узкой области температур 240 – 200 К, где резко усиливается и затем снова почти исчезает полоса 640  $\text{см}^{-1}$ ; появляется также более слабая полоса 593  $\text{см}^{-1}$ , тогда как интенсивность полос, характеризующих спектр при 300 К, несколько понижается. При 190 К спектр практически восстанавливает исходную структуру, которая

существенно не изменяется при ВТСП-переходе и вплоть до 8 К. На рис. 2 показано изменение с температурой площади под полосами 500 и 640  $\text{cm}^{-1}$ . Видно, что максимум интенсивности новой полосы приходится на 220 К. Рост полосы 640  $\text{cm}^{-1}$  сопровождается уменьшением интенсивности полосы 500  $\text{cm}^{-1}$ , минимум которой приходится на  $T = 216$  К. Небольшой скачок интенсивности этой полосы происходит также при 125 К.

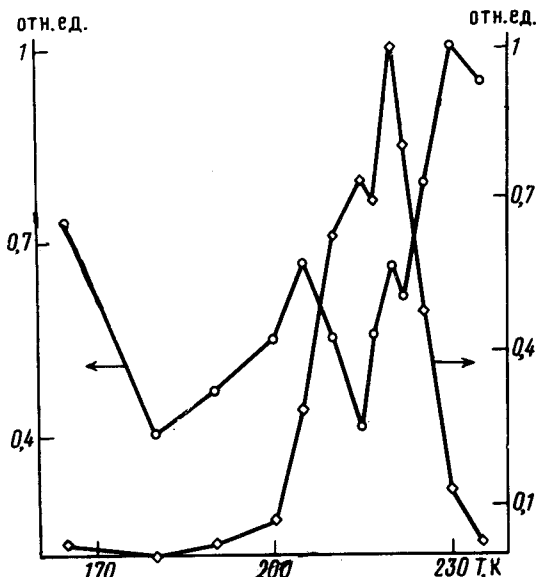


Рис. 2. Изменение с температурой интегральной интенсивности I полос 500  $\text{cm}^{-1}$  (кривая 1) и 640  $\text{cm}^{-1}$  (кривая 2) в спектре КРС по данным рис. 1

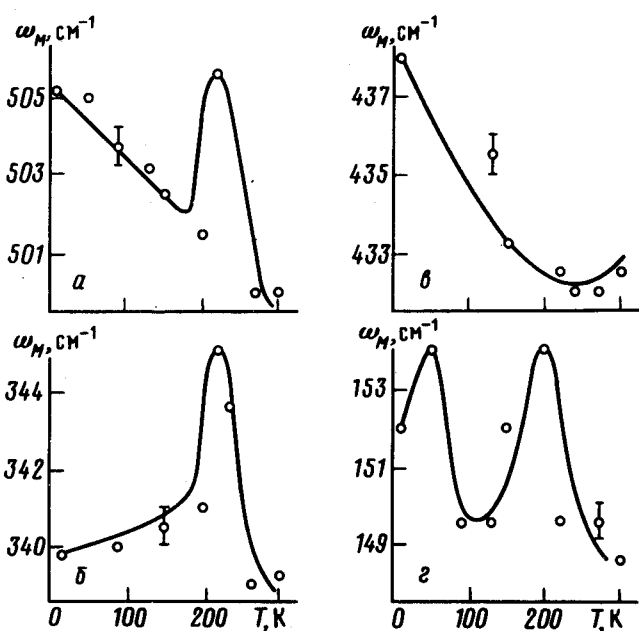


Рис. 3. Зависимость от температуры положения колебательных полос  $\omega_m$  в спектре КРС, а – полоса 500  $\text{cm}^{-1}$ , б – полоса 340  $\text{cm}^{-1}$ , в – полоса 430  $\text{cm}^{-1}$ , г – полоса 150  $\text{cm}^{-1}$

На рис. 3 приведены температурные сдвиги основных колебательных полос орторомбической фазы. Все они показывают аномальное поведение. Понижение температуры от 300 до 8 К приводит к почти линейному с температурой сдвигу  $\Delta\omega$  полосы 500  $\text{cm}^{-1}$  в сторону высоких частот, на который "накладывается" скачок частоты  $\Delta\omega = 5 \text{ cm}^{-1}$  в той области температур, в которой в спектре КРС имеет место возгорание новых полос. За исключением аномальной области, сдвиг полосы 500  $\text{cm}^{-1}$  хорошо согласуется с приведенными в работах <sup>5,6</sup>.

Сдвиг полосы  $340 \text{ см}^{-1}$  также имеет максимум при 220 К. Сдвиг полосы  $432 \text{ см}^{-1}$  имеет минимум при 250 К, т. е. показывает "смягчение" этого колебания в аномальной области температур. Наконец, полоса  $150 \text{ см}^{-1}$  показывает сложное поведение с двумя максимумами и минимумом при 120 К, т. е. это колебание единственное, которое "чувствует" ВТСП-переход.

Наблюдающиеся аномальные сдвиги частот кристаллических колебаний и возгорание полос новых колебаний свидетельствуют о существовании нестабильности решетки в области температур 240 – 200 К. Нестабильность структуры кристалла сопровождается образованием комплексов, ответственных за колебание  $640 \text{ см}^{-1}$  и приводит также к изменению постоянных решетки. Уменьшение постоянной  $c$  следует из увеличения частоты колебания  $500 \text{ см}^{-1}$ , а уменьшение постоянной  $b$  следует из увеличения частоты колебаний  $340 \text{ см}^{-1}$ . Уменьшение постоянных  $b$  и  $c$  в орторомбической фазе при температурах близких к 200 К показали рентгенографические исследования <sup>7</sup>. В той же работе при 220 К наблюдался максимум величины внутреннего трения и максимум затухания ультразвука. Эти данные указывают на наличие внутренних движений в решетке типа прыжковой диффузии в области температур 240 – 200 К, которая очень хорошо соответствует области нестабильности, определенной из спектров КРС.

Переходя к обсуждению комплекса, ответственного за колебание  $640 \text{ см}^{-1}$ , отметим, что близкие по частоте колебания содержатся в спектрах КРС  $\text{BaCuO}_2$  при  $635 \text{ см}^{-1}$ <sup>8</sup> и  $\text{La}_2\text{CuO}_4$  при  $664 \text{ см}^{-1}$ <sup>9</sup>, где они связываются с плоскостными колебаниями  $\text{CuO}_4$  в кислородных октаэдрах. Появление полосы  $640 \text{ см}^{-1}$  в результате неустойчивости орторомбической решетки  $\text{YBa}_2\text{Cu}_3\text{O}_{7-x}$  можно отнести за счет образования октаэдрических комплексов  $\text{CuO}_6$  вокруг Cu в позиции (1), когда две вакансии кислорода в направлении оси  $a$  заполняются. Время существования такого комплекса может быть довольно коротким. Заполнение кислородом вакансий вдоль оси  $a$  можно рассматривать как промежуточный этап между состоянием решетки с оборванными цепочками  $\text{O}(1) - \text{Cu}(1) - \text{O}(1)$  и беспорядочным расположением "ушедших" кислородов при  $T > 240$  К и состоянием упорядоченных цепочек при температурах ниже 200 К. Образование метастабильных комплексов  $\text{CuO}_6$  согласуется с данными ЯМР<sup>10</sup>, где в спектре при  $T > 200$  К наблюдались ядра меди в шести – координатном окружении.

Авторы благодарны К.К.Ребане за постоянную поддержку и полезные обсуждения.

#### Литература

1. Cava R.J., Batlogg B., Chen C.H. et al. Nature, 1987, **329**, 423.
2. Johnston D.C., Jacobson A.J., Newsome J.M. et al. Proc. Symp. Am. Chem. Soc., Nat. Mtg., New Orleans, LA, 1987.
3. Morioka Y., Kikuchi M., Syono Y. Jap. J. Appl. Phys., 1987, **26**, L1499.
4. Cardona M., Genzel L., Liu R. et al. Sol. St. Comm., 1987, **64**, 727. in press. 1988.
5. Macfarlane R.M., Rosen H., Seki H. Sol. St. Comm., 1987, **63**, 831.
6. Wittlin A., Genzel L., Cardona M. et al. Sol. St. Comm., in press 1988.
7. Yentug W., Huimin S., Yinsong Z. et al. J. Phys. C., 1987, **20**, L665.
8. Rosen H., Engler E.M., Strand T.C. et al. Phys. Rev., 1987, **B36**, 726.
9. Sugai S., Sato M., Hosoya S. Jap. J. Appl. Phys., 1987, **26**, L495.
10. Heinmaa I., Miidel V., Joon E. et al. Phys. Rev. B, in press, 1988.

Поступила в редакцию

8 февраля 1988 г.

1 марта 1988 г.